

南昌大学

物理实验报告



课程名称： 大学物理实验

实验名称： 准稳态法测导热系数

学院： 先进制造学院 专业班级： 智造 221 班

学生姓名： 朱紫华 学号： 5908122030

实验地点： 基础实验大楼 B108

实验时间： 2023 年 3 月 18 日

热传导是热传递三种基本方式之一。导热系数定义为单位温度梯度下每单位时间内由单位面积传递的热量，单位为 $W/(m \cdot K)$ 。它表征物体导热能力的大小。

比热是单位质量物质的热容量。单位质量的某种物质，在温度升高（或降低）1 度时所吸收（或放出）的热量，叫做这种物质的比热，单位为 $J/(kg \cdot K)$ 。

以往测量导热系数和比热的方法大都用稳态法，使用稳态法要求温度和热流量均要稳定，但学生在实验中实现这样的条件比较困难，因而导致测量的重复性、稳定性、一致性差，误差大。为了克服稳态法测量的误差，本实验用一种新的测量方法——准稳态法，使用准稳态法只要求温差恒定和温升速率恒定，而不必通过长时间的加热达到稳态，就可通过简单计算得到导热系数和比热。

【实验目的】

- 1、了解准稳态法测量导热系数和比热的原理
- 2、学习热电偶测量温度的原理和使用方法
- 3、用准稳态法测量不良导体的导热系数和比热

【实验仪器】

- 1、新型准稳态法比热导热系数测定仪
- 2、样品测试架一个，实验样品两套（橡胶和有机玻璃，每套四块），加热板两块，热电偶两副，导线 7 根，保温杯一个。

【实验原理】

1、准稳态法测量原理

考虑如图 1 所示无限大平板的一维导热模型：一无限大不良导体平板厚度为 $2R$ ，初始温度为 t_0 ，现在平板两侧同时施加均匀的指向中心面的热流密度 q_c ，则平板各处的温度 $t(x, \tau)$ 将随加热时间 τ 而变化。

以试样中心为坐标原点，上述模型的数学描述可表达如下：

$$\begin{cases} \frac{\partial t(x, \tau)}{\partial \tau} = a \frac{\partial^2 t(x, \tau)}{\partial x^2} \\ \frac{\partial t(R, \tau)}{\partial x} = \frac{q_c}{\lambda} & \frac{\partial t(0, \tau)}{\partial x} = 0 \\ t(x, 0) = t_0 \end{cases}$$

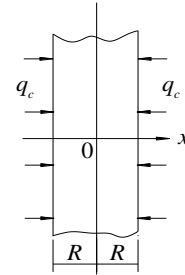


图 1 理想无限大不良热导体平板

式中 $a = \lambda / \rho c$ ， λ 为材料的导热系数， ρ 为材料的密度， c 为材料的比热。

可以给出此方程的解为（参见附录 A）：

$$t(x, \tau) = t_0 + \frac{q_c}{\lambda} \left(\frac{a}{R} \tau + \frac{1}{2R} x^2 - \frac{R}{6} + \frac{2R}{\pi^2} \sum_{n=1}^{\infty} \frac{(-1)^{n+1}}{n^2} \cos \frac{n\pi}{R} x \cdot e^{-\frac{an^2\pi^2}{R^2} \tau} \right) \quad (1)$$

考察 $t(x, \tau)$ 的解析式（1）可以看到，随加热时间的增加，样品各处的温度将发生变化，而且我们注意到式中的级数求和项由于指数衰减的原因，会随加热时间的增加而逐渐变小，直至所占份额可以忽略不计。

定量分析表明当 $\frac{a\tau}{R^2} > 0.5$ 以后，上述级数求和项可以忽略。这时式（1）变成：

$$t(x, \tau) = t_0 + \frac{q_c}{\lambda} \left[\frac{a\tau}{R} + \frac{x^2}{2R} - \frac{R}{6} \right] \quad (2)$$

这时，在试件中心处有 $x = 0$ ，因而有：

$$t(x, \tau) = t_0 + \frac{q_c}{\lambda} \left[\frac{a\tau}{R} - \frac{R}{6} \right] \quad (3)$$

在试件加热面处有 $x = R$ ，因而有：

$$t(x, \tau) = t_0 + \frac{q_c}{\lambda} \left[\frac{a\tau}{R} + \frac{R}{3} \right] \quad (4)$$

由式（3）和（4）可见，当加热时间满足条件 $\frac{a\tau}{R^2} > 0.5$ 时，在试件中心面和加热面处温度和加热时间成线性关系，温升速率同为 $\frac{aq_c}{\lambda R}$ ，此值是一个和材料导热性能和实验条件有关的常数，此时加热面和中心面间的温度差为：

$$\Delta t = t(R, \tau) - t(0, \tau) = \frac{1}{2} \frac{q_c R}{\lambda} \quad (5)$$

由式（5）可以看出，此时加热面和中心面间的温度差 Δt 和加热时间 τ 没有关系，保持恒定。系统各处的温度和时间是线性关系，温升速率也相同，我们称此种状态为准稳态。

当系统达到准稳态时，由式（5）得到

$$\lambda = \frac{q_c R}{2\Delta t} \quad (6)$$

根据式（6），只要测量出进入准稳态后加热面和中心面间的温度差 Δt ，并由实验条件确定相关参量 q_c 和 R ，则可以得到待测材料的导热系数 λ 。

另外在进入准稳态后，由式（3）或（4）求温度随时间的变化率，可以得到下列关系式：

$$\frac{dt}{d\tau} = \frac{q_c a}{\lambda R} = \frac{q_c}{\rho c R} \quad (7)$$

比热为：

$$c = \frac{q_c}{\rho R \frac{dt}{d\tau}} \quad (8)$$

式中 $\frac{dt}{d\tau}$ 为准稳态条件下试件中心面（或加热面）的温升速率（进入准稳态后各点的温升速率是相同的）。

由以上分析可以得到结论：只要在上述模型进入准稳态后，测量出系统加热面与中心面间的温度差和中心面的温升速率，即可由式（6）和式（8）得到待测材料的导热系数和比热。

2、热电偶温度传感器

热电偶结构简单，具有较高的测量准确度，可测温度范围为 $-50 \sim 1600^\circ\text{C}$ ，在温度测量中应用极为广泛。

由 A、B 两种不同的导体两端相互紧密的连接在一起，组成一个闭合回路，如图 2（a）所示。当两接点温度不等（ $T > T_0$ ）时，回路中就会产生电动势，从而形成电流，这一现象称为热电效应，回路中产生的电动势称为热电势。

上述两种不同导体的组合称为热电偶，A、B 两种导体称为热电极。两个接点，一个称为工作端或热端（T），测量时将它置于被测温度场中；另一个称为自由端或冷端（T₀），一

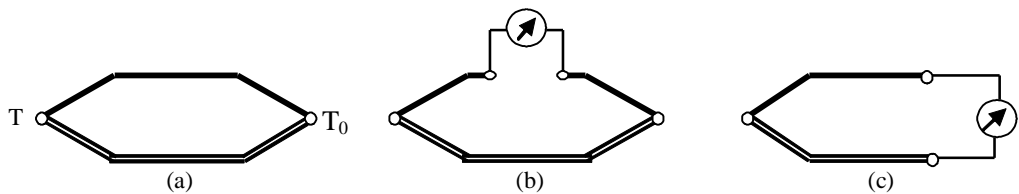


图 2 热电偶原理及接线示意图

般要求测量过程中恒定在某一温度。

理论分析和实践证明热电偶的如下基本定律：

热电偶的热电势仅取决于热电偶的材料和两个接点的温度，而与温度沿热电极的分布以及热电极的尺寸与形状无关（热电极的材质要求均匀）。

在 A、B 材料组成的热电偶回路中接入第三导体 C，只要引入的第三导体两端温度相同，则对回路的总热电势没有影响。在实际测温过程中，常采用图 2（b）或（c）的接法，需要在回路中接入导线和测量仪表，相当于接入第三导体。

热电偶的输出电压与温度并非线性关系，但在小温度范围内基本成线性关系。对于常用的热电偶，其热电势与温度的关系由热电偶特性分度表给出。测量时，若冷端温度为 0℃，由测得的电压，通过对应分度表，即可查得所测的温度。若冷端温度不为零度，则通过一定的修正，也可得到温度值。

【实验装置介绍】

1、设计考虑

仪器设计必须尽可能满足理论模型。

无限大平板条件是无法满足的，实验中总是要用有限尺寸的试件来代替。根据实验分析，当试件的横向尺寸大于试件厚度的六倍以上时，可以认为传热方向只在试件的厚度方向进行。

为了精确地确定加热面的热流密度 q_c ，我们利用超薄型加热器作为热源，其加热功率在整个加热面上均匀并可精确控制，加热器本身的热容可忽略不计。为了在加热器两侧得到相同的热阻，采用四个样品块的配置，可认为热流密度为功率密度的一半。

为了精确地测量出温度和温差，用两个分别放置在加热面和中心面中心部位的热电偶作为传感器来测量温差和温升速率。

实验仪主要包括主机和样品测试架，另有一个保温杯用于保证热电偶的冷端温度在实验中保持一致。

2、主机

主机是控制整个实验操作并读取实验数据装置，主机前后面板如图 4，图 5 所示。

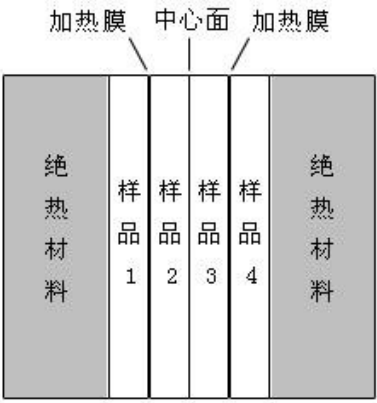


图 3 被测样品安装图



图4 主机前面板

- 1—多功能触摸显示屏
- 2—加热电压调节：用光电编码器调节加热膜的工作电压（范围：0.00V~20.90V）；
- 3—热电势 I：输入加热面热电偶的温差电动势；
- 4—热电势 II：输入中心面热电偶的温差电动势；
- 5—电源开关：打开或关闭实验仪器电源（~220V，1.25A）；
- 6—加热膜电源：为两加热薄膜提供发热功率相等的受控工作电压（因两加热膜阻值可能不等，主机根据其中之一的电压电流乘积，调整加给另一加热膜的电压，使两个加热膜的电功率相等）；
- 7—USB 数字化接口：可将实验数据存储到 U 盘等存储设备上。
- 8—散热风扇：调节控制机箱内温度。

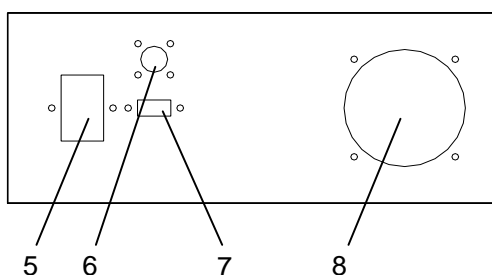


图5 后面板面板示意图

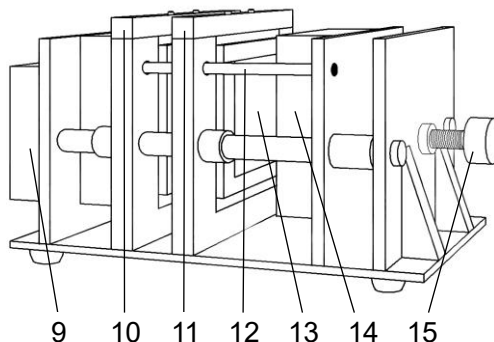


图6 样品测试架

3、样品测试架（图6）

样品测试架是安放实验样品和通过热电偶测温的装置：样品测试架采用了卧式插拔组合结构，直观，稳定，便于操作，易于维护，如图6所示。

- 9—加热膜供电转接盒：盒上插孔为加热膜供电插孔；
- 10—中心面横梁：承载中心面的热电偶；
- 11—加热面横梁：承载加热面的热电偶；
- 12—锁定杆：实验时锁定横梁，防止未松开式样取出横梁拉坏热电偶。

- 13—加热薄膜：涂有均匀电阻的绝缘膜，通电后给样品加热；
- 14—隔热层：防止加热样品时散热，从而保证实验精度；
- 15—螺杆旋钮：推动隔热层压紧或松开实验样品及热电偶；

4、热电偶测温接线原理图

本实验利用温差热电势效应实现温度的测量，将两只热电偶的热端分别置于样品的加热面和中心面，冷端（恒温端）置于保温杯中，接线原理如图 7 所示。

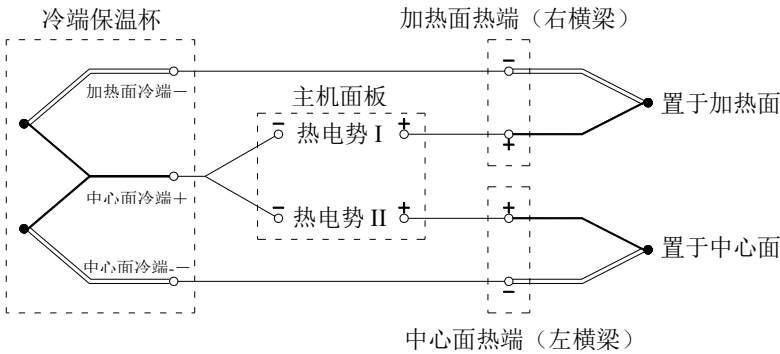


图 7 热电偶测温电路连接原理图

【实验内容和步骤】

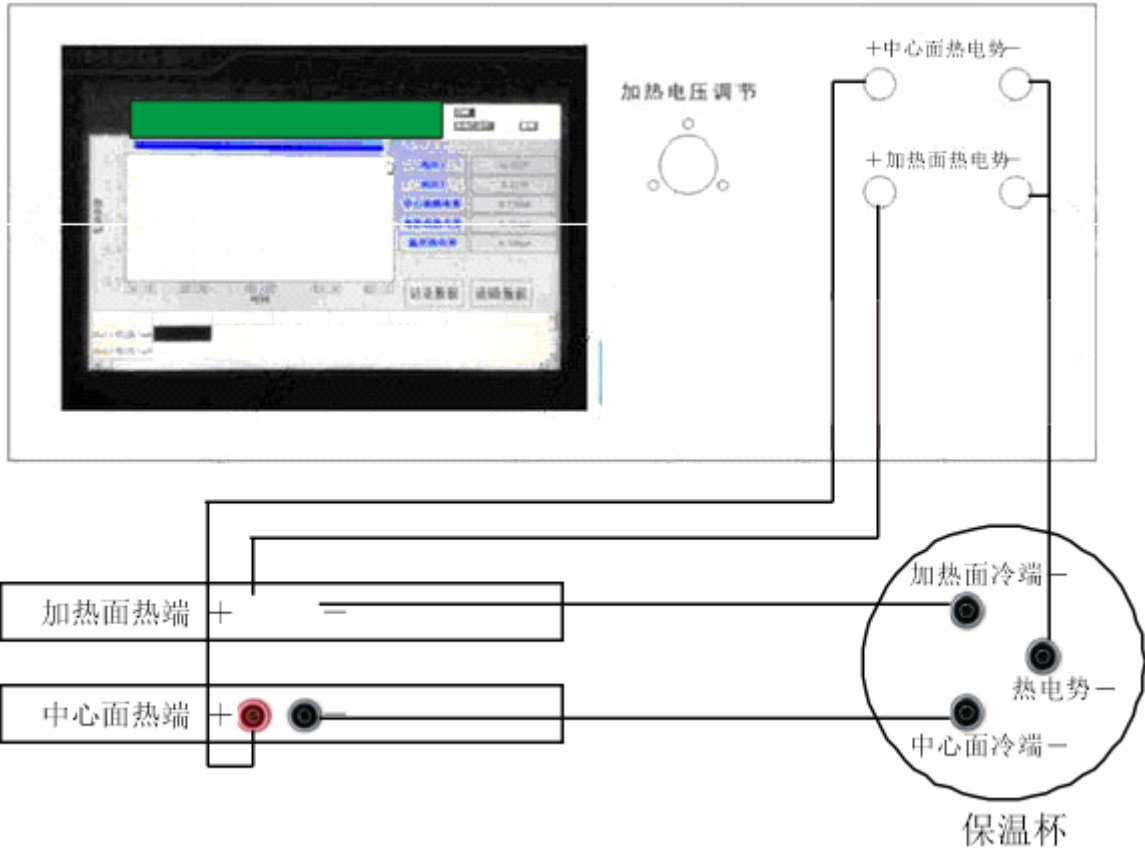


图 8 实验典型接线图

[illegible]

表 2 橡胶导热系数及比热测定 加热电压 $V = 17.3$ (V)，加热膜电阻 $r = 111.49$ (Ω)，试样厚度 $R = 0.01$ (m)

时间 τ (min)	1	2	3	4	5	6	7	8	9	10	平均
加热面热电势 V_h (mV)											
中心面热电势 V_c (mV)											
两面热电势 之差 V_t (mV)											
5分钟热电势升高 $\Delta V_h = V_{i+5} - V_i$ (mV)											

当测完一种样品需要更换样品进行下一次实验时，其操作顺序是：关闭主机电源开关→旋螺杆以松开实验样品→取出实验样品→取下热电偶传感器→等待加热薄膜冷却。

注意事项：在取样品的时候，必须先将中心面横梁热电偶取出，再取出实验样品。严禁以热电偶弯折的方法取出实验样品，这极易损坏热电偶。

【数据处理】

有了准稳态时二面热电势差值 V_t 和每 5 分钟温升热电势 ΔV 值，就可以由(6)式和(8)式计算导热系数和比热容数值。

(6) 式和 (8) 式中各参量如下：

样品厚度 $R=0.010\text{m}$ ，有机玻璃密度 $\rho=1196\text{kg/m}^3$ ，橡胶密度 $\rho=1374\text{kg/m}^3$

热流密度 $q_c = \frac{AV^2}{2Fr}$ (W/m^2)

式中 V 为加热器的工作电压， $F = 0.090\text{m} \times 0.090\text{m}$ 为加热面积， A 为考虑边缘效应后的修正系数，对于有机玻璃和橡胶， $A = 0.85$ ， r 为加热面横梁下加热膜的电阻。

铜—康铜热电偶的热电常数为 $S=0.040\text{mV/K}$ 。即在实验温差范围内，热电势与温差成线性关系，温度每差 1 度，温差热电势为 0.040mV 。为温度值。

温度差 $\Delta t = \frac{V_t}{S} = \frac{V_t}{0.040}$ (K)，温升速率 $\frac{dt}{d\tau} = \frac{\Delta V}{5 \times 60 \times 0.040}$ (K/s)。

$$u(x, \tau) = t_0 - \frac{q_c R}{6\lambda} + \frac{2q_c R}{\lambda \pi^2} \sum_{n=1}^{\infty} \frac{(-1)^{n+1}}{n^2} \cos \frac{n\pi}{R} x \cdot e^{-\frac{an^2 \pi^2}{R^2} \tau} \quad (16)$$

将 (16) 式代入 (5) 式可得

$$t(x, \tau) = t_0 + \frac{q_c}{\lambda} \left(\frac{a}{R} \tau + \frac{1}{2R} x^2 - \frac{R}{6} + \frac{2R}{\pi^2} \sum_{n=1}^{\infty} \frac{(-1)^{n+1}}{n^2} \cos \frac{n\pi}{R} x \cdot e^{-\frac{an^2 \pi^2}{R^2} \tau} \right)$$

误差分析

实验小结及心得

附上原始数据



南昌大学物理实验报告

学生姓名: _____ 学号: _____ 专业班级: _____ 班级编号: _____

实验时间: _____ 时 _____ 分 第 _____ 周 星期 _____ 座位号: _____ 教师编号: _____ 成绩: _____

玻璃导热系数及比热测定

加热电压 $U=17.1V$, 加热膜电阻 113.1Ω , 试样厚度 $\delta=0.01m$

时间 t/min	1	2	3	4	5	6	7	8	9	10	平均
加热面热电势 U_1/mV	0.227	0.249	0.272	0.294	0.315	0.336	0.357	0.380	0.401	0.422	--
中心面热电势 U_2/mV	0.075	0.099	0.124	0.147	0.171	0.194	0.218	0.241	0.264	0.286	--
两面热电势之差 U_3/mV	0.152	0.150	0.148	0.147	0.144	0.142	0.139	0.139	0.137	0.136	0.143
5分钟热电势升高 $\Delta U_4/mV$	0.109	0.108	0.108	0.107	0.107	--	--	--	--	--	--

木象胶导热系数及比热测定

加热电压 $U=17.3V$, 加热膜电阻 111.49Ω , 试样厚度 $\delta=0.01m$

时间 t/min	1	2	3	4	5	6	7	8	9	10	平均
加热面热电势 U_1/mV	0.193	0.212	0.231	0.250	0.269	0.287	0.306	0.324	0.342	0.360	--
中心面热电势 U_2/mV	0.099	0.117	0.136	0.154	0.173	0.190	0.209	0.227	0.244	0.262	--
两面热电势之差 U_3/mV	0.094	0.095	0.095	0.096	0.096	0.097	0.097	0.097	0.098	0.098	0.096
5分钟热电势升高 $\Delta U_4/mV$	0.094	0.094	0.091	0.092	0.091	--	--	--	--	--	--

金祖赐

2023-3-18

朱紫华 5908122030

吴锦瑞 5908122011

刘小英 5908122029

彭锋 5908122013